

# روش معادلات مجزا برای حل مسائل دو بعدی الاستودینامیک در حوزه‌ی بسامد

Original Article

محسن میرزا جانی (کارشناس ارشد)

ناصر خاجی<sup>\*</sup> (استاد)

دانشکده‌ی مهندسی عمران و محیط زیست، دانشگاه تربیت مدرس

مهمنگی عینان شرف، (پاییز ۱۳۹۱)، ص ۶۵-۷۴  
دوری ۳-۴، شماره ۳،

در این نوشتار، روش معادلات مجزا برای حل مسائل الاستودینامیک دو بعدی در حوزه‌ی بسامد با استفاده از تبدیل فوریه‌ی سریع توسعه داده شده است. برای این منظور، مرز فضای مسئله با استفاده از المان‌های مرتبه‌ی بالای غیرایزوپارامتریک<sup>۱</sup> ویژه گسسته‌سازی شده است. با استفاده از چندجمله‌ی های مرتبه‌ی بالای چیزی<sup>۲</sup> به عنوان توابع نگاشت<sup>۳</sup>، توابع شکل ویژه، روش انتگرال‌گیری عددی کلنشا - کورتیس<sup>۴</sup>، همچنین روند تولید فرم انتگرالی با استفاده از روش باقیمانده‌های وزن دار<sup>۵</sup>، ماتریس ضرباب در معادلات حاکم بر مسائل الاستودینامیک قطری شده است. این به آن معنast که معادله‌ی دیفرانسیل بسل<sup>۶</sup> حاکم برای هر درجه‌ی آزادی مستقل از سایر درجات آزادی در فضای مسئله به دست آمده است. برای اولین بار در این نوشتار روش معادلات مجزا، که قبلاً برای حل مسائل پتانسیل و الاستواستاتیک ارائه شده بود، برای حل مسائل الاستودینامیک دو بعدی در حوزه‌ی بسامد توسعه داده شده است. همچنین نتایج به دست آمده با استفاده از روش معادلات مجزا با نتایج سایر روش‌های عددی مقایسه شده است.

وازگان کلیدی: مسائل الاستودینامیک دو بعدی، ماتریس ضرباب قطری، چندجمله‌ی های چیزی، المان‌های غیرایزوپارامتریک، حوزه‌ی بسامد، دستگاه معادلات دیفرانسیل بسل قطری.

m.mirzajani@modares.ac.ir  
nkhaji@modares.ac.ir

## ۱. مقدمه

مرزی - محدود مقیاس شده در برخی پژوهش‌ها برای حل مسائل الاستودینامیک استفاده شده است.<sup>[۱-۲]</sup> علاوه بر روش‌های ارائه شده‌ی مذکور، پژوهش‌های دیگری نیز با استفاده از روش‌های تحلیلی و نیمه تحلیلی گوناگون به حل مسائل الاستودینامیک پرداخته‌اند.<sup>[۲۷-۲۵]</sup> اخیراً، روش معادلات مجزا برای حل مسائل بتانسیل<sup>[۲۸]</sup> مسائل الاستواستاتیک دو بعدی،<sup>[۲۹]</sup> و مسائل الاستواستاتیک سه بعدی،<sup>[۳۰]</sup> به کار گرفته شده‌اند. در این نوشتار، روش نیمه تحلیلی مزبور برای حل مسائل الاستودینامیک در حوزه‌ی بسامد توسعه داده شده و سپس در پایان با حل مثال‌هایی، توان این روش برای حل این دسته از مسائل ارزیابی شده است.

مسائل الاستودینامیک طیف وسیعی از مسائل مهندسی را به خود اختصاص می‌دهند. برای حل این دسته از مسائل، روش‌های عددی گوناگونی مانند: روش المان‌های محدود (FEM)<sup>۷</sup>، روش المان‌های طیفی (SEM)<sup>۸</sup>، روش المان‌های مرزی (BEM)<sup>۹</sup>، روش المان مرزی - محدود مقیاس شده (SBFEM)<sup>۱۰</sup> و روش‌های بدون مش تاکون مورد استفاده قرار گرفته است. روش المان‌های محدود دارای قابلیت‌های خوبی در حل این دسته از مسائل است.<sup>[۱۱]</sup> همچنین حل مسائل الاستودینامیک دو بعدی با استفاده از روش المان‌های محدود در برخی مراجع ارائه شده‌اند.<sup>[۱۲-۲]</sup> روش المان‌های مرزی، یکی دیگر از روش‌های عددی است که ابعاد مسئله را یک بعد کاهش می‌دهد. این روش نیاز به حل اساسی<sup>۱۲</sup> برای معادله‌ی دیفرانسیل حاکم بر مسائل الاستودینامیک دارد. از روش المان‌های مرزی برای حل مسائل الاستودینامیک در برخی پژوهش‌ها استفاده شده است.<sup>[۱۲-۵]</sup>

روش المان مرزی - محدود مقیاس شده مزایای روش المان‌های محدود و المان‌های مرزی را ترکیب می‌کند. این روش یک روش نیمه تحلیلی برای حل معادلات دیفرانسیل جزئی است. در این روش، مشابه روش المان‌های مرزی، فقط مرز مسئله نیاز به گسسته‌سازی دارد؛ با این تفاوت که نیاز به حل اساسی نیست. روش المان

## ۲. معادله‌ی حاکم بر مسائل الاستودینامیک دو بعدی

در دستگاه مختصات کلی دکارتی، معادله‌ی حرکت حاکم بر مسائل الاستودینامیک دو بعدی در فضای  $\Omega$  (شکل ۱) به صورت رابطه‌ی ۱ بیان می‌شود:

$$\sigma_{ij,j} + f_i - \rho\ddot{u}_i = 0 \quad (1)$$

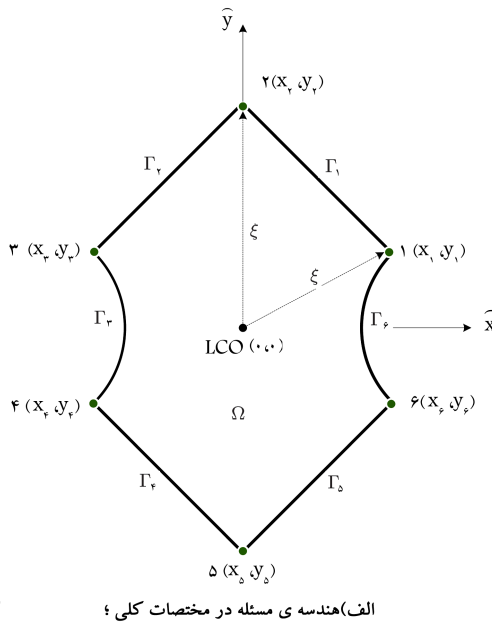
\* نویسنده مسئول  
تاریخ: دریافت ۳/۵/۱۳۹۱، اصلاحیه ۲۳/۱۱/۱۱، پذیرش ۲۸/۱۱/۱۳۹۱.

### ۳. مدل سازی هندسه

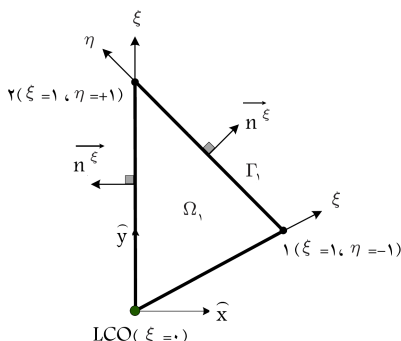
به منظور مدل سازی هندسه و همچنین فیزیک مسئله در این روش، ابتدا یک نقطه به عنوان مرجع مختصات محلی (LCO)  $^{15}$  انتخاب و سپس تمام خصوصیات هندسی و فیزیکی مسئله نسبت به این نقطه ارزیابی شده است. در عین حال فقط مرزهای مسئله با استفاده از المان‌های با یک بُعد کمتر از بُعد فضای مسئله مشبّدی شده‌اند (شکل ۲).

با توجه به انتخاب محورهای محلی، مرزهای مسئله به طور کلی به دو دسته تقسیم می‌شوند: ۱. مرزهایی که امتداد آن‌ها از LCO می‌گذرند و روی محور شعاعی ۴ قرار می‌گیرند؛ ۲. مرزهایی که امتداد آن‌ها از LCO نمی‌گذرند؛ پر واضح است که فقط باید مرزهای نوع ۱ را المان‌بندی کرد.

در این روش، مختصات هر نقطه درون حوزه‌ی مسئله در مختصات کلی با  $(\hat{x}, \hat{y})$  مشخص می‌شود، همچنین مختصات هر نقطه از مرزهای مسئله نیز با  $(x, y)$  تعیین می‌شود. مطابق شکل ۲، در دستگاه مختصات محلی از دو محور با نام‌های ۴ و ۷ استفاده می‌شود؛ محور ۴ معرف محوری شعاعی است که از محل LCO شروع می‌شود و محور ۷ نیز محوری مماسی است که فقط بر روی مرزها تعریف می‌شود. محدوده‌ی تغییرات محور مماسی ۷ بین  $-1$  و  $+1$  و همانند روش

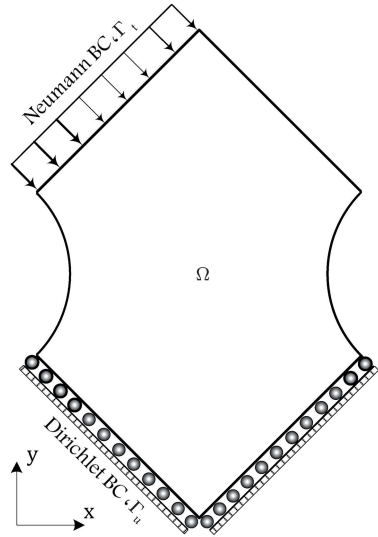


الف) هندسه‌ی مسئله در مختصات کلی؛



ب) هندسه‌ی مسئله در مختصات محلی.

شکل ۲. نحوه‌ی مدل سازی مسائل دو بعدی شماتیک.



شکل ۱. فضای دو بعدی ( $\Omega$ ) با مرزهای دارای شرایط دیریکله ( $\Gamma_u$ ) و شرایط نیومن ( $\Gamma_t$ ) در مسائل الاستودینامیک.

که در آن،  $\sigma_{ij}$  بیان گر اجرای تansور تنش دو بعدی؛  $f_i$  مؤلفه‌های نیروهای حجمی اعمال شده بر فضای مسئله؛  $\ddot{u}_i$  مشتق دوم تغییرمکان نسبت به زمان است. لازم به ذکر است که در حالت دو بعدی مسائل الاستودینامیک در نظر گرفته شده است که به منظور تحلیل در حوزه‌ی بسامد، حرکت هارمونیک در زمان  $t$  است. بنابراین رابطه‌ی بین جابجایی در حوزه‌ی زمان ( $u_i(t)$ ) و جابجایی در حوزه‌ی بسامد ( $\hat{u}_i(\omega)$  به صورت روابط ۲ و ۳ بیان می‌شود:

$$u_i(t) = \hat{u}_i(\omega) \exp(j\omega t) \quad (2)$$

$$\ddot{u}_i(t) = -\omega^2 \hat{u}_i(\omega) \exp(j\omega t) \quad (3)$$

به طور مشابه می‌توان روابط ۴ و ۵ را نوشت:

$$\sigma_{ij,j}(t) = \hat{\sigma}_{ij,j}(\omega) \exp(j\omega t), \quad (4)$$

$$f_i(t) = \hat{f}_i(\omega) \exp(j\omega t). \quad (5)$$

که در آن‌ها  $j = \sqrt{-1}$  است. بنابراین، معادله‌ی حاکم بر مسائل الاستودینامیک در حوزه‌ی بسامد به صورت رابطه‌ی ۶ بازنویسی می‌شود:

$$\hat{\sigma}_{ij,j} + \hat{f}_i + \rho\omega^2 \hat{u}_i = 0. \quad (6)$$

معادله‌ی ۶، فرم قوی  $^{13}$  معادله‌ی حاکم بر مسائل الاستودینامیک است، که با اعمال شرایط مرزی می‌تواند حل شود. همچنین می‌توان از فرم ضعیف  $^{14}$  معادله‌ی حاکم برای حل مسائل الاستودینامیک استفاده کرد. این روش بر مبنای استفاده از فرم ضعیف معادله‌ی حاکم است، لذا با استفاده از روش باقیمانده‌های وزن دار با ضرب طرفین این رابطه در بردار تغییرمکان دلخواه  $w$  و انتگرال‌گیری از رابطه‌ی حاصل بر روی فضای مسئله، معادله‌ی حاکم به صورت رابطه‌ی ۷ یا ۸ خواهد بود:

$$\int_{\Omega} w \left( \hat{\sigma}_{ij,j} + \hat{f}_i + \rho\omega^2 \hat{u}_i \right) d\Omega = 0. \quad (7)$$

یا:

$$\int_{\Omega} w \hat{\sigma}_{ij,j} d\Omega + \int_{\Omega} w \hat{f}_i d\Omega + \int_{\Omega} w \rho\omega^2 \hat{u}_i d\Omega = 0. \quad (8)$$

معادله‌ی ۸ در بخش‌های بعدی مورد استفاده قرار خواهد گرفت.

یک بردار دلخواه در فضای  $(\hat{x}, \hat{y})$  را به صورت  $[s_{\hat{x}} \ s_{\hat{y}}]^T = [s]$  در نظر بگیرید.  
مشتقهای این بردار با استفاده از اپراتور  $[L]$  به صورت رابطه‌ی ۱۸ قابل محاسبه است:

$$\begin{Bmatrix} s_{\hat{x}} \\ s_{\hat{y}} \\ s_{\hat{x}} + s_{\hat{y}} \end{Bmatrix} = [L] \begin{Bmatrix} s_{\hat{x}} \\ s_{\hat{y}} \end{Bmatrix} \quad (18)$$

که در آن ماتریس  $[L]$  از رابطه‌ی ۱۹ قابل محاسبه است:

$$[L] = \begin{bmatrix} \partial/\partial\hat{x} & \circ & \partial/\partial\hat{y} \\ \circ & \partial/\partial\hat{y} & \partial/\partial\hat{x} \end{bmatrix}^T \quad (19)$$

بنابراین، رابطه‌ی مشتقهای بردار مذکور در دو دستگاه مختصات کلی و محلی با استفاده از رابطه‌ی ۲۰ قابل بیان است:

$$[L] = \left[ b^1(\eta) \right] \frac{\partial}{\partial\xi} + \frac{1}{\xi} \left[ b^r(\eta) \right] \frac{\partial}{\partial\eta} \quad (20)$$

که در آن،  $\left[ b^1(\eta) \right]$  و  $\left[ b^r(\eta) \right]$  از روابط ۲۱ و ۲۲ قابل محاسبه هستند:

$$\left[ b^1(\eta) \right] = \frac{1}{|J(\eta)|} \begin{bmatrix} y_{,\eta}(\eta) & \circ \\ \circ & -x_{,\eta}(\eta) \\ -x_{,\eta}(\eta) & y_{,\eta}(\eta) \end{bmatrix} \quad (21)$$

$$\left[ b^r(\eta) \right] = \frac{1}{|J(\eta)|} \begin{bmatrix} -y(\eta) & \circ \\ \circ & x(\eta) \\ x(\eta) & -y(\eta) \end{bmatrix} \quad (22)$$

به منظور محاسبه‌ی ترکشی در هر امتداد، نیاز به دانستن بردار نرمال در آن امتداد است؛ بردار نرمال عمود بر سطح  $\{n\}$  بر روی مرزهای مسئله به صورت رابطه‌ی ۲۳ تعریف می‌شود:

$$\{n\} = \frac{1}{|\nabla r|} \nabla r \quad (23)$$

با استفاده از رابطه‌ی ۹ و ۱۰، رابطه‌ی ۲۳ برای دو امتداد ۴ و ۷ را می‌توان به صورت روابط ۲۴ و ۲۵ نوشت:

$$\left[ n^\xi(\eta) \right] = \frac{1}{\left| \begin{Bmatrix} y_{,\eta}(\eta) \\ -x_{,\eta}(\eta) \end{Bmatrix} \right|} \begin{bmatrix} y_{,\eta}(\eta) & \circ \\ \circ & -x_{,\eta}(\eta) \\ -x_{,\eta}(\eta) & y_{,\eta}(\eta) \end{bmatrix} \quad (24)$$

$$\left[ n^\eta(\eta) \right] = \frac{1}{\left| \begin{Bmatrix} -y(\eta) \\ x(\eta) \end{Bmatrix} \right|} \begin{bmatrix} -y(\eta) & \circ \\ \circ & x(\eta) \\ x(\eta) & -y(\eta) \end{bmatrix} \quad (25)$$

با اعمال معادلات ۲۴ و ۲۵، معادلات ۲۱ و ۲۲ به صورت روابط ۲۶ و ۲۷ یا روابط ۲۸ و ۲۹ بازنویسی می‌شود:

$$\left[ b^1(\eta) \right] = \frac{1}{|J(\eta)|} \left\{ \begin{array}{l} y_{,\eta}(\eta) \\ -x_{,\eta}(\eta) \end{array} \right\} \left[ n^\xi(\eta) \right] \quad (26)$$

$$\left[ b^r(\eta) \right] = \frac{1}{|J(\eta)|} \left\{ \begin{array}{l} -y(\eta) \\ x(\eta) \end{array} \right\} \left[ n^\eta(\eta) \right] \quad (27)$$

المان‌های محدود کلاسیک است، اما تغییرات محور شعاعی  $\xi$  با توجه به نوع مسئله در دو محدوده‌ی تغییرات محور شعاعی  $\xi$  برای مسائل محدود بین: الف) صفر در LCO، ب) ۱ بر روی مرزها قابل بحث است و برای مسائل نیمه نامحدود، تغییرات این محور بین ۱ تا بی‌نهایت در نظر گرفته می‌شود.

به منظور انتقال هندسه‌ی مسئله از مختصات کلی  $(\hat{x}, \hat{y})$  به مختصات محلی  $(\eta, \xi)$  از توابع نگاشت، که از نوع چندجمله‌ی های مرتبه‌ی بالای چیزیش  $[\varphi(\eta)]$  هستند، استفاده می‌شود. مختصات هر نقطه روی مرزهای مسئله با استفاده از توابع نگاشت به صورت رابطه‌های ۹ و ۱۰ یا ۱۱ قابل محاسبه خواهد بود:

$$\{x(\eta)\} = [\varphi(\eta)] \{x\} \quad (28)$$

$$\{y(\eta)\} = [\varphi(\eta)] \{y\} \quad (29)$$

یا:

$$x(\eta) = \sum_{i=1}^{n_\eta+1} x_i \varphi_i(\eta), \quad y(\eta) = \sum_{i=1}^{n_\eta+1} y_i \varphi_i(\eta) \quad (30)$$

در این روابط،  $x$  و  $y$  مختصات نقاط روی مرز در دستگاه مختصات کلی هستند و  $n_\eta$  تعداد نقاط کنترل<sup>۱۶</sup> المان‌های روی مرز هستند. در این روش، مختصات هر نقطه درون حوزه‌ی مسئله با استفاده از روابط ۱۲ و ۱۳ محاسبه می‌شود:

$$\hat{x}(\xi, \eta) = \xi x(\eta) = \xi \sum_{i=1}^{n_\eta+1} x_i \varphi_i(\eta) \quad (31)$$

$$\hat{y}(\xi, \eta) = \xi y(\eta) = \xi \sum_{i=1}^{n_\eta+1} y_i \varphi_i(\eta) \quad (32)$$

تابع نگاشت برای یک المان  $(n_\eta + 1)$  گرهی، با استفاده از چندجمله‌ی های چیزیش به صورت رابطه‌ی ۱۴ تعیین می‌شود:

$$\varphi_i(\eta) = \frac{2}{n_\eta} \sum_{n=0}^{n_\eta} \frac{1}{c_{i-1} c_n} T_n(\eta_{i-1}) T_n(\eta) \quad (33)$$

که در آن،  $T_n(\eta)$  چندجمله‌ی چیزیش نوع اول از مرتبه‌ی  $n$  است.<sup>۱۵،۱۶</sup> همچنین به ازای مقادیر  $n < n_\eta$  مقدار  $<$  مقدار  $=$  و برای  $c_n = 0$ ،  $n_\eta = 0$  است.

جزء سطح المان در مختصات کلی  $d\hat{x}d\hat{y}$  با جزء سطح المان در مختصات محلی  $(d\xi d\eta)$  رابطه‌ی به صورت رابطه‌ی ۱۵ دارد:

$$d\Omega = d\hat{x}d\hat{y} = |\hat{J}(\xi, \eta)| d\xi d\eta = \xi |J(\eta)| d\xi d\eta \quad (34)$$

که در آن،  $(\xi, \eta)$  ماتریس ژاکوبی<sup>۱۷</sup> انتقال (رابطه‌ی ۱۶) است:

$$\hat{J}(\xi, \eta) = \begin{bmatrix} \hat{x}_{,\xi}(\xi, \eta) & \hat{y}_{,\xi}(\xi, \eta) \\ \hat{x}_{,\eta}(\xi, \eta) & \hat{y}_{,\eta}(\xi, \eta) \end{bmatrix}, \quad (35)$$

ماتریس ژاکوبی روی مرزها نیز به صورت رابطه‌ی ۱۷ محاسبه می‌شود:

$$J(\eta) = \begin{bmatrix} x(\eta) & y(\eta) \\ x_{,\eta}(\eta) & y_{,\eta}(\eta) \end{bmatrix} \quad (36)$$

که در آن  $[B^1(\eta)]$  و  $[B^r(\eta)]$  از روابط ۳۳ و ۳۴ به دست می‌آید:

$$[B^1(\eta)] = [b^1(\eta)] [N(\eta)] \quad (33)$$

$$[B^r(\eta)] = [b^r(\eta)] [N(\eta)] \quad (34)$$

و مشتق اول  $[B^1(\eta)]$  از رابطه‌ی ۳۵ به دست می‌آید:

$$[B^1(\eta)]_{,\eta} = [b^1(\eta)]_{,\eta} [N(\eta)] \quad (35)$$

مؤلفه‌های تنش در هر نقطه به مختصات  $(\eta, \xi)$  با استفاده از قانون هوك<sup>۱۸</sup>، از رابطه‌ی ۳۶ به دست می‌آید:

$$\begin{aligned} \{\hat{\sigma}(\xi, \eta, \omega)\} &= [D] \left( [b^1(\eta)] [N(\eta)] \{\hat{u}(\xi, \omega)\}_{,\xi} \right. \\ &\quad \left. + \frac{1}{\xi} [b^r(\eta)] [N(\eta)]_{,\eta} \{\hat{u}(\xi, \omega)\} \right) \end{aligned} \quad (36)$$

که در این رابطه‌ها،  $[D]$  بیان‌گر ماتریس مدول کشسانی است. در رابطه با محاسبه‌ی مؤلفه‌های تنش در نقاط گرهی، ترم دوم رابطه‌ی ۳۶ برابر صفر می‌شود.

## ۵. دستگاه معادلات دیفرانسیل بسل

چای‌گذاری معادله‌ی ۲۰ در ترم اول معادله‌ی ۸ در مختصات محلی (یعنی  $\xi, \eta, i$ )، رابطه‌ی ۳۷ را نتیجه می‌دهد:

$$\int_{\Omega} w \hat{\sigma}_{ij,j} d\Omega = \int_{\Omega} w(\xi, \eta, \omega) \left( [b^1(\eta)]^T \{\hat{\sigma}(\xi, \eta, \omega)\}_{,\xi} \right. \\ \left. + \frac{1}{\xi} [b^r(\eta)]^T \{\hat{\sigma}(\xi, \eta, \omega)\}_{,\eta} \right) d\Omega \quad (37)$$

از آنجایی که مشتق نخست تابع شکل نسبت به محور مماسی  $\eta$  در نقاط گرهی المان‌های واقع در مرزهای مسئله برابر با ۰ است و همچنین با توجه به رابطه‌ی ۳۶ عبارت دوم زیر نماد انتگرال در سمت راست رابطه‌ی ۳۷ به صورت رابطه‌ی ۳۸ ساده می‌شود:

$$\{\hat{\sigma}(\xi, \eta, \omega)\}_{,\eta} = \left( [D] [b^1(\eta)] [N(\eta)] \{\hat{u}(\xi, \omega)\}_{,\xi} \right)_{,\eta} \quad (38)$$

از طرفی، با توجه به اینکه  $[D]$  تابع  $\eta$  نیستند، بنابراین رابطه‌ی ۳۸ به شکل رابطه‌ی ۳۹ قابل ارائه است:

$$\begin{aligned} \{\hat{\sigma}(\xi, \eta, \omega)\}_{,\eta} &= [D] \left( [b^1(\eta)] [N(\eta)]_{,\eta} \right. \\ &\quad \left. + [b^1(\eta)]_{,\eta} [N(\eta)] \right) \{\hat{u}(\xi, \omega)\}_{,\xi} \end{aligned} \quad (39)$$

چای‌گذاری رابطه‌های ۳۶ و ۳۹ در رابطه‌ی ۳۷، منجر به رابطه‌ی ۴۰ خواهد شد:

$$\begin{aligned} \int_{\Omega} w \hat{\sigma}_{ij,j} d\Omega &= \int_{\Omega} w(\xi, \eta, \omega) \left( [b^1(\eta)]^T [D] [b^1(\eta)] [N(\eta)] \{\hat{u}(\xi, \omega)\}_{,\xi} \right)_{,\xi} \\ &\quad + \frac{1}{\xi} [b^r(\eta)]^T [D] \left( [b^1(\eta)] [N(\eta)]_{,\eta} \right. \\ &\quad \left. + [b^1(\eta)]_{,\eta} [N(\eta)] \right) \{\hat{u}(\xi, \omega)\}_{,\xi} d\Omega \end{aligned} \quad (40)$$

$$[b^1(\eta)] = \frac{[n^\xi(\eta)]}{|J(\eta)|} \sqrt{y_{,\eta}^r(\eta) + x_{,\eta}^r(\eta)} \quad (28)$$

$$[b^r(\eta)] = \frac{[n^\eta(\eta)]}{|J(\eta)|} \sqrt{y^r(\eta) + x^r(\eta)} \quad (29)$$

## ۴. مدل‌سازی فیزیک مسئله

در این روش، از توابع شکل با ویژگی‌های خاصی استفاده می‌شود، که در حالت کلی با  $[N]$  نشان داده می‌شوند. درون‌بایی توابع، بیان‌گر خواص فیزیکی مسئله بر روی مرزها با استفاده از این توابع شکل انجام می‌گیرد که دارای دو ویژگی مهم هستند: ۱. در نقاط کنترل المان‌ها، دارای خاصیت دلتای کرونیکر هستند؛ ۲. مشتق اول آن‌ها نسبت به محورهای محلی مماسی در تمام گره‌ها برابر ۰ است. توابع شکل پیشنهادی برای یک المان  $(1 + n_\eta)$  گرهی، یک چندجمله‌ی از مرتبه‌ی  $(1 + 2n_\eta)$  مانند رابطه‌ی ۳۰ است، که دارای  $2n_\eta$  پارامتر مجھول است:

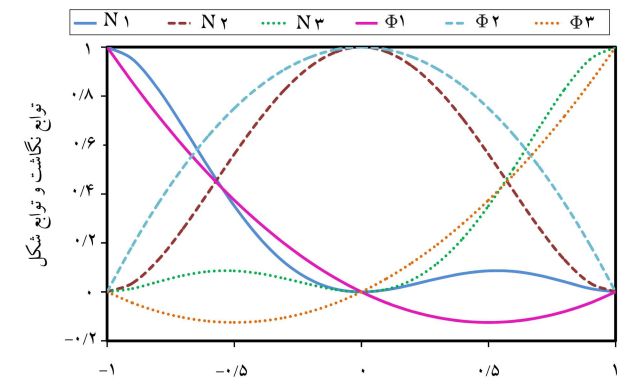
$$N_i(\eta) = \sum_{m=0}^{2n_\eta+1} a_m \eta^m \quad (30)$$

توابع شکل و توابع نگاشت برای یک المان سه گرهی در شکل ۳ مقایسه شده است. در صورتی که  $(\xi, t) u$  جابجایی در حوزه‌ی زمان و تبدیل فوریه‌ی آن  $(\xi, \omega) \hat{u}$  جابجایی در حوزه‌ی بسامد باشد؛ با اعمال توابع شکل، جابجایی یک بسامد مشخص  $\omega$  به دست می‌آید (رابطه‌ی ۳۱):

$$\begin{aligned} \{\hat{u}(\xi, \eta, \omega)\} &= [N(\eta)] \{\hat{u}(\xi, \omega)\} \\ &= [N(\eta)] \left[ \begin{array}{c} \hat{u}_x(\xi, \omega) \\ \hat{u}_y(\xi, \omega) \end{array} \right]^T \end{aligned} \quad (31)$$

با استفاده از روابط ۲۰ و ۳۱، مؤلفه‌های کرنش در نقطه‌ی  $(\eta, \xi)$  در فضای مسئله به صورت رابطه‌ی ۳۲ بیان می‌شوند:

$$\begin{aligned} \{\hat{\varepsilon}(\xi, \eta, \omega)\} &= \left[ \begin{array}{c} \hat{\varepsilon}_x(\xi, \eta, \omega) \\ \hat{\varepsilon}_y(\xi, \eta, \omega) \\ \hat{\gamma}_{xy}(\xi, \eta, \omega) \end{array} \right]^T \\ &= [B^1(\eta)] \{\hat{u}(\xi, \omega)\}_{,\xi} + \frac{1}{\xi} [B^r(\eta)] \{\hat{u}(\xi, \omega)\} \end{aligned} \quad (32)$$



شکل ۳. مقایسه‌ی توابع نگاشت و توابع شکل یک المان سه گرهی.

در مختصات محلی  $(\eta, \xi)$ ، تابع وزن  $(\omega, \eta, \xi)$  با استفاده از توابع شکل به صورت رابطه‌ی ۴۷ قابل تعریف است:

$$w(\xi, \eta, \omega) = [N(\eta)] \{w(\xi, \omega)\} \quad (\text{FV})$$

حال، با جایگزینی رابطه‌ی ۴۷ در رابطه‌ی ۴۶، فرم ضعیف معادله‌ی حاکم بر مسائل الاستودینامیک در حوزه‌ی بسامد در این روش، به شکل رابطه‌ی ۴۸ یا ۴۹ به دست می‌آید:

$$\begin{aligned} & \{w(\xi, \omega)\}^T \int_{-\infty}^{+\infty} (\xi [N(\eta)]^T [b^v(\eta)]^T [D] [b^v(\eta)] [N(\eta)]) \\ & \quad \{\hat{u}(\xi, \omega)\}_{,\xi\xi} |J(\eta)| + [N(\eta)]^T [b^v(\eta)]^T [D] [b^v(\eta)]_{,\eta} [N(\eta)] \\ & \quad \{\hat{u}(\xi, \omega)\}_{,\xi} |J(\eta)| + \xi [N(\eta)]^T \left\{ \hat{f}^b(\xi, \eta, \omega) \right\} |J(\eta)| \\ & \quad + \int_{-\infty}^{+\infty} [N(\eta)]^T [N(\eta)]^T [\hat{f}^b(\xi, \eta, \omega)]^T [J(\eta)]_v \end{aligned} \quad (84)$$

$$\int_{-\infty}^{+\infty} (\xi [N(\eta)]^T \left[ b^{\top}(\eta) \right]^T [D] \left[ b^{\top}(\eta) \right] [N(\eta)] \{ \hat{u}(\xi, \omega) \}_{,\xi\xi} \\ |J(\eta)| + [N(\eta)]^T \left[ b^{\top}(\eta) \right]^T [D] \left[ b^{\top}(\eta) \right]_{,\eta} [N(\eta)] \\ \{ \hat{u}(\xi, \omega) \}_{,\xi} |J(\eta)| + \xi [N(\eta)]^T \left\{ \hat{f}^b(\xi, \eta, \omega) \right\} |J(\eta)| \\ + \omega^{\top} \xi [N(\eta)]^T \rho [N(\eta)] \{ \hat{u}(\xi, \omega) \} |J(\eta)| \Big) d\eta = 0. \quad (49)$$

با استفاده از رابطه های ۳۳ الی ۳۵، ماتریس های ضرایب و بردار موجود در رابطه ۴۹، به صورت روابط ۵۰ الی ۵۳ محاسبه خواهند شد:

$$\left[ D^\circ \right] = \int_{-\infty}^{+\infty} \left[ B^\circ(\eta) \right]^T [D] \left[ B^\circ(\eta) \right] |J(\eta)| d\eta \quad (\text{d}\circ)$$

$$\left[ D^{\vee} \right] = \int_{-\infty}^{+\infty} \left[ B^{\vee}(\eta) \right]^T [D] \left[ B^{\dagger}(\eta) \right] |J(\eta)| d\eta \quad (51)$$

$$[M] = \int_{-\infty}^{+\infty} [N(\eta)]^T \rho [N(\eta)] |J(\eta)| d\eta \quad (52)$$

$$\left\{ \hat{F}^b(\xi, \omega) \right\} = \int_{-\infty}^{+\infty} [N(\eta)]^T \left\{ \hat{f}^b(\xi, \eta, \omega) \right\} |J(\eta)| d\eta \quad (53)$$

بنابراین رابطه‌ی ۴۹ را به شکل رابطه‌ی ساده‌شده‌ی ۵۴ می‌توان نوشت:

$$\xi \left[ D^\circ \right] \{ \hat{u}(\xi, \omega) \}_{,\xi\xi} + \left[ D' \right] \{ \hat{u}(\xi, \omega) \}_{,\xi} \\ \omega' \xi [M] \{ \hat{u}(\xi, \omega) \} + \xi \left\{ \hat{F}^b(\xi, \omega) \right\} = \circ \quad (54)$$

که در آن،  $\left[ \hat{F}_x^b(\xi, \omega) \quad \hat{F}_y^b(\xi, \omega) \right]^T$  بردار نیروهای گرهی در نقاط کنترل روی مرزها در بسامد  $\omega$  است. با توجه به اینکه ماتریس های ضرایب  $[D]$ ،  $[M]$ ، مستقل از  $\xi$  هستند؛ بنابراین معادلهی حاکم بر مسائل الاستودینامیک در این روش در درون حوزهی مسئله و به ازای هر یک از درجات آزادی به صورت یک معادلهی دیفرانسیل مرتبهی دوم خواهد بود، که از حل آن در امتداد  $\xi$  و بر حسب بسامد، پاسخ مرتبهی با آن درجهی آزادی در حوزهی بسامد حاصل می شود. این تذکر لازم است که این معادلهی دیفرانسیل مرتبهی دوم از نوع معادلهی دیفرانسیل سبل است.

با توجه به ویژگی توابع شکل در نقاط گرهی ( $\eta = \eta(N_{\eta})$ ), رابطه‌ی  $\circ$  به شکل رابطه‌ی  $\circ$  ساده می‌شود:

$$\int_{\Omega} w \hat{\sigma}_{ij,j} d\Omega = \int_{\Omega} w (\xi, \eta, \omega) \left[ b^{\text{v}} (\eta) \right]^T [D] \left[ b^{\text{v}} (\eta) \right] [N (\eta)] \\ \{ \hat{u} (\xi, \omega) \}_{,\xi\xi} d\Omega + \int_{\Omega} \frac{w (\xi, \eta, \omega)}{\xi} \left[ b^{\text{r}} (\eta) \right]^T [D] \left[ b^{\text{v}} (\eta) \right]_{,\eta} \\ [N (\eta)] \{ \hat{u} (\xi, \omega) \}_{,\epsilon} d\Omega \quad (41)$$

عبارت دوم و سوم رابطه‌ی ۸ را نیز به ترتیب به صورت روابط ۴۲ و ۴۳ می‌توان محاسبه کرد:

$$\int_{\Omega} w \hat{f}_i d\Omega = \int_{\Omega} w(\xi, \eta, \omega) \left\{ \hat{f}^b(\xi, \eta, \omega) \right\} d\Omega \quad (42)$$

$$\int_{\Omega} w \rho \omega^r \hat{u}_i d\Omega = \int_{\Omega} w(\xi, \eta, \omega) \rho \omega^r \{\hat{u}(\xi, \eta, \omega)\} d\Omega \quad (43)$$

که در این روابط،  $\{(\omega, \eta, \xi) | \text{بيانگر مؤلفه‌های نیروهای حجمی در فضای مستانه در بسامد } \omega \text{ است. جایگزینی رابطه‌های ۴۱} \text{ الی} \ 43 \text{ در رابطه} \ 8, \text{ به رابطه} \ 44 \text{ مترهی می‌شود:}$

$$\begin{aligned} & \int_{\Omega} w(\xi, \eta, \omega) \left[ b^{\text{v}}(\eta) \right]^T [D] \left[ b^{\text{v}}(\eta) \right] [N(\eta)] \{ \hat{u}(\xi, \omega) \}_{,\xi} d\Omega \\ & + \int_{\Omega} \frac{w(\xi, \eta, \omega)}{\xi} \left[ b^{\text{v}}(\eta) \right]^T [D] \left[ b^{\text{v}}(\eta) \right]_{,\eta} [N(\eta)] \{ \hat{u}(\xi, \omega) \}_{,\xi} d\Omega \\ & + \int_{\Omega} w(\xi, \eta, \omega) \left\{ \hat{f}^b(\xi, \eta, \omega) \right\} d\Omega \\ & + \omega^r \int_{\Omega} w(\xi, \eta, \omega) \rho \{ \hat{u}(\xi, \eta, \omega) \} d\Omega = 0 \end{aligned} \quad (44)$$

با استفاده از رابطه های ۱۵ تا ۱۷ در رابطه های ۴۴، این رابطه به شکل رابطه های بازنویسی می شود:

$$\int_{\circ}^{+\infty} \left( \int_{-\infty}^{+\infty} (\xi w(\xi, \eta, \omega) \begin{bmatrix} b^{\circ}(\eta) \end{bmatrix}^T [D] \begin{bmatrix} b^{\circ}(\eta) \end{bmatrix} [N(\eta)] \right. \\ \left. \{ \hat{u}(\xi, \omega) \}_{,\xi\xi} |J(\eta)| + w(\xi, \eta, \omega) \begin{bmatrix} b^{\circ}(\eta) \end{bmatrix}^T [D] \begin{bmatrix} b^{\circ}(\eta) \end{bmatrix}, \right. \\ \left. [N(\eta)] \{ \hat{u}(\xi, \omega) \}_{,\xi} |J(\eta)| + \xi w(\xi, \eta, \omega) \left\{ \hat{f}^b(\xi, \eta, \omega) \right\} \right. \\ \left. |J(\eta)| + \omega^{\circ} \xi w(\xi, \eta, \omega) \rho \{ \hat{u}(\xi, \eta, \omega) \} |J(\eta)| \right) d\eta ) d\xi = 0 \quad (45)$$

برای اینکه معادله‌ی ۴۵ ارضاء شود، عبارت داخل انتگرال در طول  $\psi$  باید برابر ۰ شود (راطیه‌ی ۴۶):

$$\begin{aligned} & \int_{-\infty}^{+\infty} (\xi w(\xi, \eta, \omega) [b^{\dagger}(\eta)]^T [D] [b^{\dagger}(\eta)] [N(\eta)] \{\hat{u}(\xi, \omega)\}_{,\xi\xi} \\ & |J(\eta)| + w(\xi, \eta, \omega) [b^{\dagger}(\eta)]^T [D] [b^{\dagger}(\eta)]_{,\eta} [N(\eta)] \\ & \{\hat{u}(\xi, \omega)\}_{,\xi} |J(\eta)| + \xi w(\xi, \eta, \omega) \left\{ \hat{f}^b(\xi, \eta, \omega) \right\} |J(\eta)| \\ & + \omega^{\dagger} \xi w(\xi, \eta, \omega) \rho \{\hat{u}(\xi, \eta, \omega)\} |J(\eta)| \Big) d\eta = 0 \quad (48) \end{aligned}$$

$$\begin{aligned} & \xi \begin{bmatrix} D_{11x}^{\circ} & \circ & \dots & \circ & \circ \\ \circ & D_{11y}^{\circ} & & & \vdots \\ \vdots & \ddots & & & \vdots \\ \circ & & D_{nnx}^{\circ} & \circ & \\ \circ & \circ & \dots & \circ & D_{nny}^{\circ} \end{bmatrix} \begin{Bmatrix} \hat{u}_{1x} \\ \hat{u}_{1y} \\ \vdots \\ \hat{u}_{nx} \\ \hat{u}_{ny} \end{Bmatrix}, \xi \\ & + \begin{bmatrix} D_{11x}^{\circ} & \circ & \dots & \circ & \circ \\ \circ & D_{11y}^{\circ} & & & \vdots \\ \vdots & \ddots & & & \vdots \\ \circ & & D_{nnx}^{\circ} & \circ & \\ \circ & \circ & \dots & \circ & D_{nny}^{\circ} \end{bmatrix} \begin{Bmatrix} \hat{u}_{1x} \\ \hat{u}_{1y} \\ \vdots \\ \hat{u}_{nx} \\ \hat{u}_{ny} \end{Bmatrix}, \xi \\ & + \omega^{\circ} \xi \begin{bmatrix} M_{11x} & \circ & \dots & \circ & \circ \\ \circ & M_{11y} & & & \vdots \\ \vdots & \ddots & & & \vdots \\ \circ & & M_{nnx} & \circ & \\ \circ & \circ & \dots & \circ & M_{nny} \end{bmatrix} \begin{Bmatrix} \hat{u}_{1x} \\ \hat{u}_{1y} \\ \vdots \\ \hat{u}_{nx} \\ \hat{u}_{ny} \end{Bmatrix} \quad (61) \end{aligned}$$

$$\begin{aligned} & \xi D_{ii}^{\circ} \hat{u}(\xi, \omega)_{i,\xi\xi} + D_{ii}^{\circ} \hat{u}(\xi, \omega)_{i,\xi} + \omega^{\circ} \xi M_{ii} \hat{u}(\xi, \omega)_i \\ & + \xi \hat{F}^b(\xi, \omega)_i = 0 \quad (62) \end{aligned}$$

این تذکر لازم است که معادله‌ی ۶۲ یک معادله‌ی دیفرانسیل بسل است که به ازای هر  $n$ ، مستقل از بقیه‌ی معادلات است و برای محاسبه‌ی تغییرمکان و تنش در هر نقطه کافی است که معادله‌ی دیفرانسیل متناظر با نقطه‌ی کنترل مرتبه با آن نقطه حل شود.

## ۷. حل در حوزه‌ی بسامد

برای حل معادله‌ی ۶۲ در هر درجه‌ی آزادی از آنالیز در حوزه‌ی بسامد استفاده می‌شود. برای انتقال تابع بار وابسته به زمان  $f(t)$  به تابع بار  $(\omega) \hat{f}$  در حوزه‌ی بسامد از تبدیل فوریه‌ی سریع (FFT) استفاده می‌شود.<sup>[۳۲]</sup> سپس این معادله برای تعیین پاسخ دینامیکی  $(\omega, \xi) \hat{u}$  در حوزه‌ی بسامد به کار گرفته می‌شود. در نهایت با اعمال معکوس تبدیل فوریه‌ی سریع (IFFT) تاریخچه‌ی زمانی پاسخ به دست می‌آید.

تابع بار وابسته به زمان  $f(t)$  توسط  $N$  مقدار گسته تعریف می‌شود  $N = 2^n$  و عدد صحیح است). در این صورت گام زمانی برابر خواهد بود با  $\Delta t = T/N$  و  $T = 2\pi/\Delta\omega$  مدت زمان اعمال بار در حوزه‌ی زمان است. با اعمال تبدیل فوریه‌ی سریع به تابع بار در حوزه‌ی زمان، خروجی به صورت  $N$  عدد مختلط گسته خواهد بود، که  $N/2$  اول اعداد با  $N/2$  دوم فقط در علامت قسمت موهمی با

## ۶. دستگاه معادلات دیفرانسیل بسل قطری

با توجه به اینکه در این روش، نقاط گرهی المان‌ها از نوع نقاط چیشیفی هستند، به منظور محاسبه‌ی انتگرال‌های موجود در محاسبه‌ی ماتریس‌های ضرباب، روش انتگرال‌گیری کلنشا - کورتیس<sup>[۳۲]</sup> مورد استفاده قرار می‌گیرد. به این ترتیب، با استفاده‌ی هم‌زمان از توابع نگاشت و توابع شکل و وزره و نیز روش انتگرال‌گیری کلنشا - کورتیس، کلیه‌ی ماتریس‌های ضرباب در این روش، قطری خواهند شد. انتگرال‌گیری یک بعدی روی یک المان دلخواه  $\Gamma_e$  با استفاده از روش کلنشا - کورتیس برای یک تابع دلخواه  $g(\eta)$  به صوت رابطه‌ی ۵۵ تعریف می‌شود:

$$\int_{\Gamma_e} f(x(\eta), y(\eta)) d\Gamma = \int_{-1}^{+1} f(x(\eta), y(\eta)) J(\eta) d\eta = \int_{-1}^{+1} g(\eta) d\eta \quad (55)$$

که در آن  $g(\eta)$  انتقال‌یافته‌ی  $f(x, y)$  از مختصات کلی به مختصات محلی است و مقدار رابطه‌ی ۵۵ با استفاده از رابطه‌ی ۵۶ قبل محاسبه است:

$$\int_a^b g(\eta) d\eta = (b-a) \left( \frac{1}{1} c_1 - \frac{1}{3} c_3 - \frac{1}{15} c_5 - \dots - \frac{c_{2k+1}}{(2k+1)(2k-1)} - \dots \right) \quad (56)$$

که در آن، ضرباب وزن به صورت رابطه‌ی ۵۷ تعیین می‌شوند:

$$c_j = \frac{2}{n_\eta} \sum_{k=0}^{n_\eta} g(\eta_k) \cos \left( \frac{\pi(j-1)k}{n_\eta} \right) \quad (57)$$

در این رابطه، علامت بالای نماد سیگما بیان‌گر این است که عبارت‌های نخستین و پایانی سیگما با ضرباب  $5^{\circ}$  در محاسبات وارد می‌شوند. ماتریس‌های ضرباب موجود در معادله‌ی حاکم بر مسائل الاستوپلیمیک دو بعدی به صورت قطری شده (روابط ۵۸ الی ۶۰) قبل محاسبه هستند:

$$D_{ij}^{\circ} = 2\delta_{ij} w_i [B^{\circ}(\eta_i)]^T [D] [B^{\circ}(\eta_i)] |J(\eta_i)| \quad (58)$$

$$D_{ij}^{\circ} = 2\delta_{ij} w_i [B^{\circ}(\eta_i)]^T_{,\eta} [D] [B^{\circ}(\eta_i)] |J(\eta_i)| \quad (59)$$

$$M_{ij} = 2\delta_{ij} w_i [N(\eta_i)]^T \rho [N(\eta_i)] |J(\eta_i)| \quad (60)$$

در این روابط،  $\zeta_i$  دلتای کرونیکر است، بنابراین دستگاه معادلات درگیر رابطه‌ی ۵۴ را می‌توان به صورت روابط ۶۱ یا ۶۲ به ازای هر درجه‌ی آزادی  $i$  نوشت:

در گام دوم، معادله‌ی ۶۴ حل می‌شود. جواب این معادله به صورت رابطه‌ی ۶۸ به دست می‌آید:

$$\hat{u}(\xi, \omega)_{pi} = \frac{-1}{\omega^r M_{ii}} \hat{F}^b(\xi, \omega)_i \quad (68)$$

با استفاده از معادلات ۶۷ و ۶۸، حل تحلیلی معادله‌ی تعادل حاکم بر مسائل الاستودینامیک در حوزه‌ی بسامد به صورت رابطه‌ی ۶۹ تعیین می‌شود:

$$\begin{aligned} \hat{u}(\xi, \omega)_i &= A_i \xi^{\left(\frac{1-a_i}{r}\right)} J_{\left(\frac{a_i-1}{r}\right)} (\lambda_i \xi) + B_i \xi^{\left(\frac{1-a_i}{r}\right)} Y_{\left(\frac{a_i-1}{r}\right)} (\lambda_i \xi) \\ &\quad - \frac{1}{\omega^r M_{ii}} \hat{F}^b(\xi, \omega) \end{aligned} \quad (69)$$

به منظور حل مسائل، ابتدا معادله‌ی ۶۹ بدون درنظر گرفتن بار حجمی حل می‌شود. سپس، با استفاده از روابط تعادل، مقدار مؤلفه‌های نیروهای داخلی متذکر مرتبط با هر گره در امتداد محور  $\xi$  و همچنین مؤلفه‌های تشن داخلی در نقطه‌ی LCO( $\sigma$ ) را برای گرهی نام می‌توان محاسبه کرد.

در گام پایانی و با مشخص شدن تابع مؤلفه‌های تغییرمکان برای هر گره در امتداد محور  $\xi$ ، پاسخ برای سایر نقاط، با استفاده توابع شکل درون‌بایی می‌شود، همچنین میزان تشن در هر نقطه از حوزه‌ی مسئله نیز با استفاده از رابطه‌ی ۳۶ تعیین می‌شود.

هم متفاوت خواهد بود. این تذکر لازم است که بسامد نایکوپست<sup>۱۹</sup> به این صورت تعريف می‌شود:  $\omega_n = N\pi/T$ .

الگوریتم حل در حوزه‌ی بسامد با استفاده از تبدیل فوریه‌ی سریع و معکوس آن در این گام‌ها خلاصه می‌شود:<sup>[۲۰]</sup>

۱. تعیین تعداد مقادیر گسسته  $N$  و گام‌های بسامدی  $\Delta\omega$ . این تذکر لازم است که گام‌های بسامدی باید به اندازه‌ی کافی کوچک اختیار شوند تا الاف اطلاعات بسامدی به مقدار کمینه برسد.

۲. اعمال تبدیل فوریه‌ی سریع به منظور تعیین شرایط مرزی در حوزه‌ی بسامد  $(\omega, f)$  از روی شرایط مرزی در حوزه‌ی زمان  $(t, f)$ .

۳. درنظر گرفتن  $(1 + \frac{N}{4})$  بسامد اول که در آن:

$$\{\omega_k = k\Delta\omega, \quad (k = 0, 1, \dots, N/2)\}$$

به منظور تعیین پاسخ بسامدی  $(\omega, \hat{u})$  برای  $(1 + \frac{N}{4})$  بسامد. با توجه به خاصیت تبدیل فوریه<sup>۲۰</sup>، پاسخ بسامدی  $(\omega, \hat{u})$  به ازای  $(1 - \frac{N}{4})$  بسامد باقی‌مانده برای با پاسخ به دست آمده برای  $(1 + \frac{N}{4})$  بسامد اول خواهد بود، این تفاوت که قسمت موهومنی در یک منطقی ضرب خواهد شد.

۴. اعمال تبدیل معکوس فوریه‌ی سریع بر روی  $(\omega, \hat{u})$  به منظور تعیین تاریخچه‌ی زمانی پاسخ  $(\xi, t, u)$ .

## ۹. مثال‌های عددی

### ۹.۱. صفحه‌ی طریقی تحت بار دینامیکی برشی گسترشده

مثال اول، یک صفحه‌ی طریقی به صورت ضربه‌ی مثلثی است و با توزیع یکنواخت بر لبه‌ی بارگذاری دینامیکی به صورت ضربه‌ی مثلثی است و با توزیع یکنواخت بر لبه‌ی فوکانی صفحه اعمال می‌شود (شکل ۴). ضربه پواسون در این مثال برابر  $3/4$  و مدول کشسانی و چگالی مصالح برابر ۱ لحظه می‌شود. به منظور مدل‌سازی هندسه‌ی مسئله (شکل ۴ ب) مرکز مختصات محلی در گوششی پایین سمت چپ صفحه انتخاب شده است. مرزهای مسئله با استفاده از سه المان ۳ گرهی و با ۷ گره می‌بندی شده است.

به منظور حل این مثال، از حل معادله‌ی حاکم بر مسائل الاستودینامیک در حوزه‌ی بسامد استفاده شده است. تعداد گسسته‌سازی برای تبدیل فوریه‌ی سریع و معکوس آن، با افزایش تعداد بسامدها  $2048 = 2^{11} = 2048$  در نظر گرفته شده است.

نتایج حاصل از حل این مسئله با استفاده از این روش در حوزه‌ی بسامد با عنوان تاریخچه‌ی تغییرمکان قائم نقطه‌ی B و تاریخچه‌ی تشن نقطه‌ی A به ترتیب در شکل‌های ۵ و ۶ ارائه شده است. به منظور مقایسه، نتایج حاصل از حل این مسئله با استفاده از روش‌های دیگر عددی نیز در این شکل‌ها ارائه شده است، که ملاحظه می‌شود نتایج حاصل از این روش انتطباق خوبی با نتایج حاصل از سایر روش‌ها دارد.

### ۹.۲. یک قلمروی L شکل تحت بارگذاری مثلثی

برای مثال دوم، یک قلمروی L شکل تحت بارگذاری مثلثی در نظر گرفته می‌شود (شکل ۷). ابعاد این مثال به صورت واحد در نظر گرفته شده است. مشخصات مصالح این مثال به این شرح است: ضربه پواسون برابر  $1/3$  و مدول کشسانی و چگالی مصالح برابر ۱ لحظه می‌شود. سرعت موج برشی برابر  $c_s = \sqrt{3/8}$  و

## ۸. حل معادله‌ی حاکم بر مسائل الاستودینامیک در حوزه‌ی بسامد

به منظور حل معادله‌ی دیفرانسیل (رابطه‌ی ۶۲)، معادله به دو بخش تقسیم می‌شود، که از حل معادله‌ی اول جواب عمومی مسئله (رابطه‌ی ۶۳) و از حل معادله‌ی دوم جواب خصوصی مسئله (رابطه‌ی ۶۴) به دست می‌آید:

$$D_{ii}^{\circ} \hat{u}(\xi, \omega)_{i, \xi\xi} + D_{ii}^{\circ} \hat{u}(\xi, \omega)_{i, \xi} + \omega^r M_{ii} \hat{u}(\xi, \omega)_i = 0 \quad (63)$$

$$D_{ii}^{\circ} \hat{u}(\xi, \omega)_{i, \xi\xi} + D_{ii}^{\circ} \hat{u}(\xi, \omega)_{i, \xi} + \omega^r M_{ii} \hat{u}(\xi, \omega)_i = -\xi \hat{F}^b(\xi, \omega)_i \quad (64)$$

رابطه‌ی ۶۳، معادله‌ی دیفرانسیل بسل است که می‌تواند هم به صورت تحلیلی و هم به صورت عددی حل شود. برای نامین درجه‌ی آزادی، متغیرهای  $\lambda$  و  $b_i$  (رابطه‌ی ۶۵ و ۶۶) تعريف می‌شوند:

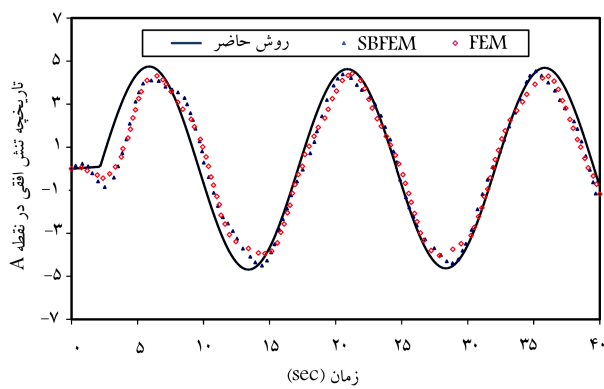
$$\lambda_i = \frac{\omega^r M_{ii}}{D_{ii}^{\circ}} \quad (65)$$

$$b_i = \frac{D_{ii}^{\circ}}{D_{ii}^{\circ}} \quad (66)$$

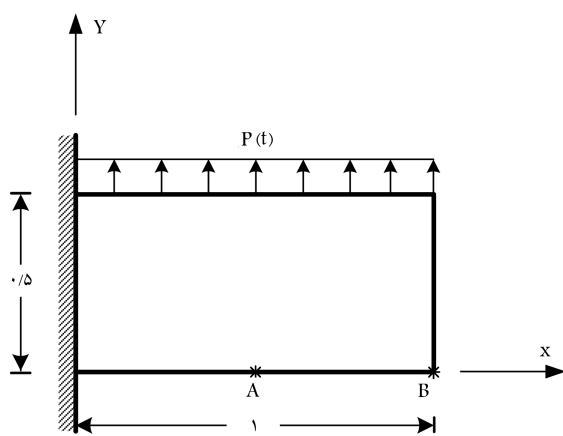
با درنظر گرفتن معادلات ۶۵ و ۶۶، جواب عمومی معادله (رابطه‌ی ۶۳) به صورت رابطه‌ی ۶۷ تعیین می‌شود:

$$\hat{u}(\xi, \omega)_{ci} = A_i \xi^{\left(\frac{1-a_i}{r}\right)} J_{\left(\frac{a_i-1}{r}\right)} (\lambda_i \xi) + B_i \xi^{\left(\frac{1-a_i}{r}\right)} Y_{\left(\frac{a_i-1}{r}\right)} (\lambda_i \xi) \quad (67)$$

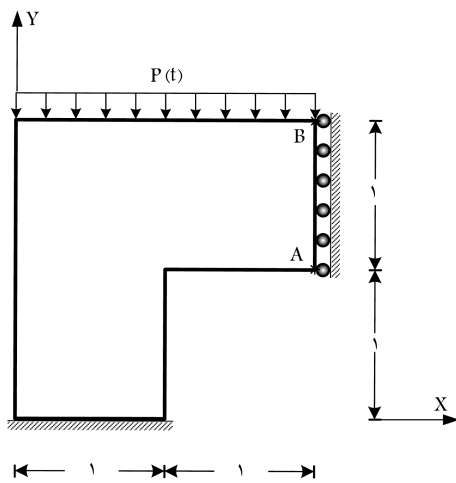
که در آن  $J_v$ ،  $Y_v$  و به ترتیب نوابع بسل نوع اول و دوم از مرتبه‌ی  $v$  هستند.



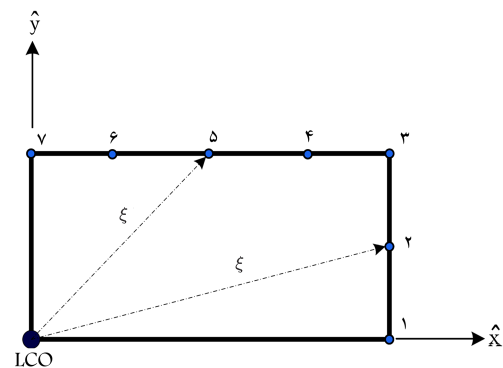
شکل ۶. تاریخچه نتش افقی بی بعد ( $\frac{\sigma_{xx}}{P}$ ) در نقطه‌ی A (مثال ۱).



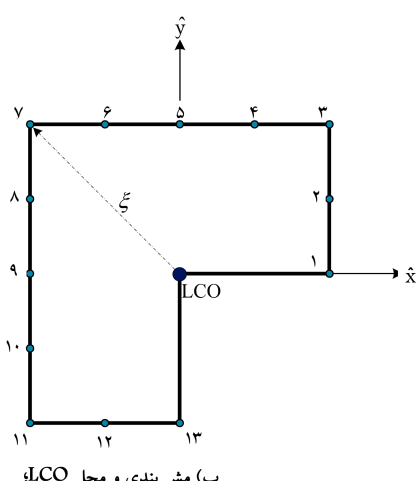
الف) هندسه و بارگذاری:



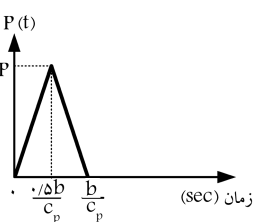
الف)، هندسه و بارگذاری:



ب) مشبندی و محل LCO

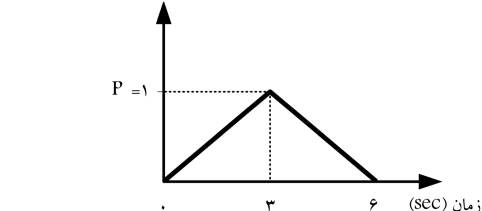


ب) مشبندی و محل LCO



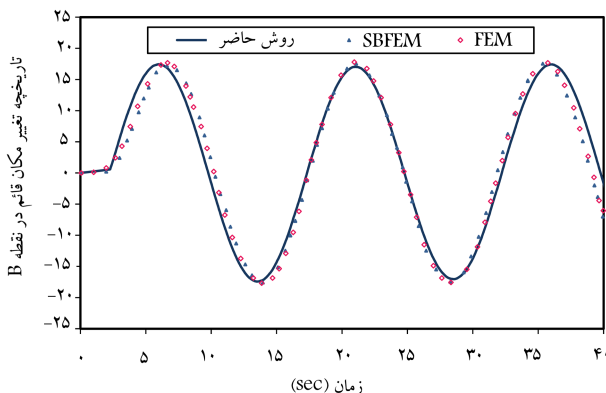
ج) تاریخچه بارگذاری.

شکل ۷. مثال ۲.



ج) تاریخچه بارگذاری.

شکل ۷. مثال ۲.



شکل ۸. تاریخچه نوش افقی بی بعد ( $\frac{\sigma_{xx}}{P}$ ) در نقطه‌ی B (مثال ۱).

سرعت موج  $p$  برابر  $c_p = \sqrt{E/\rho}$  است. بارگذاری و محل قرارگیری نقطه‌ی LCO در شکل ۷ نشان داده شده است. مرزهای مسئله با استفاده از شش المان ۳ گرهی و با ۱۳ گره مشبندی شده است.

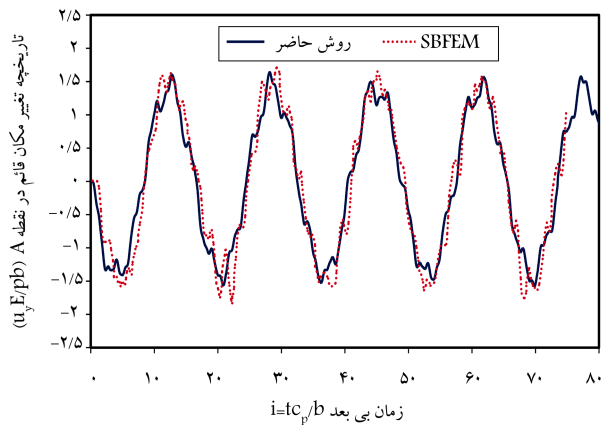
نتایج حاصل از حل این مسئله با استفاده از این روش در حوزه‌ی بسامد با عنوان تاریخچه‌ی تغییرمکان قائم نقطه‌ی A و B به ترتیب در شکل‌های ۸ و ۹ ارائه شده است. به منظور مقایسه، نتایج حاصل از حل این مسئله با استفاده از روش دیگر عددی نیز در این شکل‌ها ارائه شده است.

## ۱۰. نتیجه‌گیری

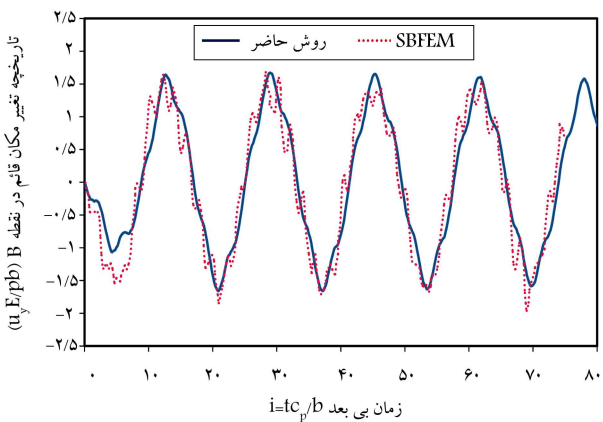
در این نوشتار، یک روش نیمه‌تحلیلی جدید برای حل مسائل الاستودینامیک دو بعدی در حوزه‌ی بسامد ارائه شده است. این روش، توسعه‌ی قابلی ایده‌های نوین‌دگان برای مسائل پتانسیل و الاستواستاتیک است. از تبدیل فوریه‌ی سریع و معکوس آن جهت تعیین تاریخچه‌ی زمانی پاسخ استفاده شده است. با استفاده از المان‌های غیرایزوپارامتریک، مرز مسئله گسترش‌سازی شده است. با استفاده از توابع چبیشف مرتبه‌ی بالا به عنوان توابع نگاشت، توابع شکل و یزه (که دارای خاصیت دلتای کرونیکر برای تابع جابجایی و مشتق آن بودند)، انتگرال‌گیری عددی کلنشا - کورتیس و استفاده از فرم ضعیف معادله‌ی حاکم بر مسائل الاستودینامیک، ماتریس‌های ضرباب دستگاه معادلات حاکم به ماتریس‌های قطری تبدیل شدند. در نتیجه، معادله‌ی ضرباب بدل حاکم برای هر درجه‌ی آزادی مستقل از سایر درجات آزادی خواهد بود. به منظور ارزیابی توان روش برای حل مسائل الاستودینامیک، دو مثال نمونه با استفاده از روش حاضر با موفقیت تحلیل و نشان داده شد که در مقایسه با سایر روش‌های عددی، تعداد درجات آزادی کمتری مورد نیاز است تا دقت مناسب بدست آید.

## پانوشت‌ها

1. non-isoparametric higher-order element
2. higher-order Chebyshev polynomials
3. mapping functions
4. Clenshaw-Curtis quadrature rule
5. weighted residual method
6. Bessel
7. finite elements method (FEM)
8. spectral elements method (SEM)
9. boundary elements method (BEM)
10. scaled boundary-finite element method (SBFEM)
11. mesh free method
12. fundamental solution
13. strong form
14. weak form
15. local coordinate origin (LCO)
16. control point
17. Jacobian matrix
18. Hook's law
19. Nyquist circular frequency
20. conjugate symmetric property



شکل ۸. تاریخچه‌ی تغییرمکان قائم در نقطه‌ی A (مثال ۲).



شکل ۹. تاریخچه‌ی تغییرمکان قائم در نقطه‌ی B (مثال ۲).

## منابع (References)

1. Zienkiewicz, O.C. and Taylor R.L., *The Finite Element Method*, Oxford, Butterworth and Heinmann (2000).
2. Freitas, J.A.T. and Wang, Z.M. "Elastodynamic analysis with hybrid stress finite elements", *Computers & Structures*, 79(19), pp. 1753-1767 (2001).
3. Boroomand, B. and Mossaiby, F. "Dynamic solution of unbounded domains using finite element method: Discrete green's functions in frequency domain", *International Journal for Numerical Methods in Engineering*, 67(11), pp. 1491-1530 (2006).
4. Loureiro, F.S. and Mansur, W.J. "An efficient hybrid time-Laplace domain method for elastodynamic analysis based on the explicit Green's approach", *International Journal of Solids and Structures*, 46(16), pp. 3093-3102 (2009).
5. Frangi, A. and Novati, G. "on the numerical stability of time-domain elastodynamic analyses by BEM", *Com-*

- puter Methods in Applied Mechanics and Engineering*, **173**(3-4), pp. 403-417 (1999).
6. Pérez-Gavilán, J.J. and Aliabadi, M.H. "A Galerkin boundary element formulation with dual reciprocity for elastodynamics", *International Journal for Numerical Methods in Engineering*, **48**(9), pp. 1331-1344 (2000).
  7. Chien, C. and Wu, T. "A particular integral BEM/time-discontinuous FEM methodology for solving 2-D elastodynamic problems", *International Journal of Solids and Structures*, **38**(2), pp. 289-306 (2001).
  8. Chien, C., Chen, Y. and Chuang, C. "Dual reciprocity BEM analysis of 2D transient elastodynamic problems by time-discontinuous Galerkin FEM", *Engineering Analysis with Boundary Elements*, **27**(6), pp. 611-624 (2003).
  9. Soares Jr., D. and Mansur, W.J. "An efficient stabilized boundary element formulation for 2D time-domain acoustics and elastodynamics", *Computational Mechanics*, **40**(2), pp. 355-365 (2007).
  10. Sellountos, E.J., Sequeira, A. and Polyzos, D. "A new LBIE method for solving elastodynamic problems", *Engineering Analysis with Boundary Elements*, **35**(2), pp. 185-190 (2011).
  11. Hamzeh Javarani, S., Khaji, N. and Moharrami, H. "A dual reciprocity BEM approach using new Fourier radial basis functions applied to 2D elastodynamic transient analysis", *Engineering Analysis with Boundary Elements*, **35**(1), pp. 85-95 (2011).
  12. Hamzeh Javarani, S., Khaji, N. and Noorzad, A. "First kind Bessel function (J-Bessel) as radial basis function for plane dynamic analysis using dual reciprocity boundary element method", *Acta Mechanica*, **218**(3-4), pp. 247-258 (2011).
  13. Xiao, J., Ye, W., Cai, Y. and Zhang, J. "Precorrected FFT accelerated BEM for large-scale transient elastodynamic analysis using frequency-domain approach", *International Journal for Numerical Methods in Engineering*, DOI: 10.1002/nme.3316 (2011).
  14. Wolf, J.P., *The Scaled Boundary Finite Element Method*, John Wiley & Sons (2004).
  15. Song, C. and Wolf, J.P. "The scaled boundary finite-element method: analytical solution in frequency domain", *Computer Methods in Applied Mechanics and Engineering*, **164**(1-2), pp. 249-264 (1998).
  16. Wolf, J.P. and Song, C. "The scaled boundary finite-element method - a primer: Derivations", *Computers & Structures*, **78**(1-3), pp. 191-210 (2000).
  17. Song, C. and Wolf, J.P. "The scaled boundary finite-element method - a primer: solution procedures", *Computers & Structures*, **78**(1-3), pp. 211-225 (2000).
  18. Bazyar, M.H. and Song, C. "Transient analysis of wave propagation in non homogeneous elastic unbounded domains by using the scaled boundary finite-element method", *Earthquake Engineering & Structural Dynamics*, **35**(14), pp. 1787-1806 (2006).
  19. Bazyar, M.H. and Song, C. "Time-harmonic response of non-homogeneous elastic unbounded domains using the scaled boundary finite-element method", *Earthquake Engineering & Structural Dynamics*, **35**(3), pp. 357-383 (2006).
  20. Yang, Z.J. and Deeks, A.J. "A frequency-domain approach for modelling transient elastodynamics using scaled boundary finite element method", *Computational Mechanics*, **40**(4), pp. 725-738 (2007).
  21. Yang, Z.J., Deeks, A.J. and Hao, H. "A Frobenius solution to the scaled boundary finite element equations in frequency domain for bounded media", *International Journal for Numerical Methods in Engineering*, **70**(12), pp. 1387-1408 (2007).
  22. Song, C. "The scaled boundary finite element method in structural dynamics", *International Journal for Numerical Methods in Engineering*, **77**(8), pp. 1139-1171 (2009).
  23. Zhang, Z.H., Yang Z.J., Liu G.H. and et al. "An adaptive scaled boundary finite element method by subdividing subdomains for elastodynamic problems", *Sci China Tech Sci*, **54**(1), pp. 101-110, doi: 10.1007/s11431-011-4598-3 (2011).
  24. Yang, Z.J., Zhang, Z.H., Liu, G.H. and Ooi, E.T. "An h-hierarchical adaptive scaled boundary finite element method for elastodynamics", *Computers & Structures*, **89**(13-14), pp. 1417-1429 (2011).
  25. Golubchick, A. and Altus, E. "A semi-analytic method for solving some 2-D elastodynamic problems in semi-infinite media", *Computational Mechanics*, **24**(4), pp. 268-272 (1999).
  26. Yang, J., Abubakar, A., Berg, P.M., Habashy, T.M. and Reitich, F. "A CG-FFT approach to the solution of a stress-velocity formulation of three-dimensional elastic scattering problems", *Journal of Computational Physics*, **227**(24), pp. 10018-10039 (2008).
  27. Touhei, T. "Generalized Fourier transform and its application to the volume integral equation for elastic wave propagation in a half space", *International Journal of Solids and Structures*, **46**(1), pp. 52-73 (1 January 2009).
  28. Khaji, N. and Khodakarami, M.I. "A new semi-analytical method with diagonal coefficient matrices for potential problems", *Engineering Analysis with Boundary Elements*, **35**(6), pp. 845-854 (2011).
  29. Khodakarami, M.I. and Khaji, N. "Analysis of elastostatic problems using a semianalytical method with diagonal coefficient matrices", *Engineering Analysis with Boundary Elements*, **35**(12), pp. 1288-1296 (2011).
  30. Khaji, N. and Khodakarami, M.I. "A semi-analytical method with a system of decoupled ordinary differential equations for three-dimensional elastostatic problems", *International Journal of Solids and Structures*, **49**(18), pp. 2528-2546 (2012).
  31. Clenshaw, C.W. and Curtis, A. "A method for numerical integration on an automatic computer", *Numerische Mathematik*, **2**(1), pp. 197-205 (1960).
  32. Brigham, E.O., *The Fast Fourier Transform*, Prentice-Hall, Inc., Englewood Cliffs, N.J. (1974).
  33. Duffy, D.G., *Advanced Engineering Mathematics*, CRC Press LLC (1998).
  34. Press, W.H., Teukolsky, S.A., Vetterling, W.T. and Flannery, B.P., *Numerical Recipes in C*, the Art of Scientific Computing, 2nd ed. (1992).
  35. Lebedev, N.N., *Special Functions and their Applications*, Prentice-Hall (1965).